

# Simulation möglicher Waldbrandausbreitung mittels GANs

Ersan Baran, Dennis Fischer, Sebastian Wewer

# Gliederung

- Erläuterung der Grundidee (Sebastian)
- Zusammenstellung des Datensets (Sebastian)
- Satellitenbilder-Ansätze (Bot, Google Earth) (Sebastian)
- Einstieg GANs (Dennis)
- Welche GANs sind für unseren Zweck geeignet (Dennis)
- Tiefer in CycleGAN und DeepGAN (Ersan + Dennis)
- Weitere Ansatz Pix2Pix (Ersan + Dennis)

# Grundidee

Können GANs dazu verwendet werden die Ausbreitung von Waldbränden realistisch darzustellen?

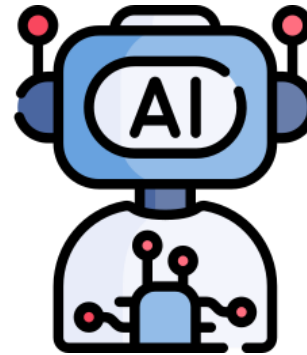
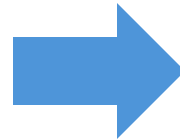


Paradise Pines, California, vor, während und nach einem Camp-Feuer 2018.

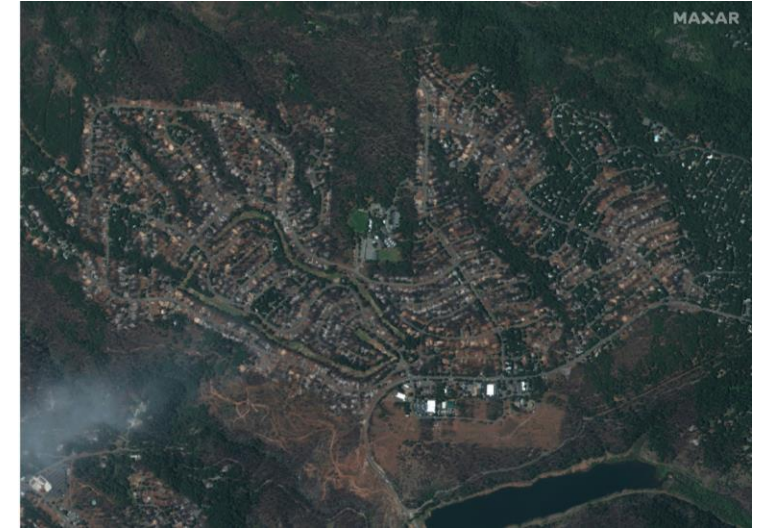


# Grundidee

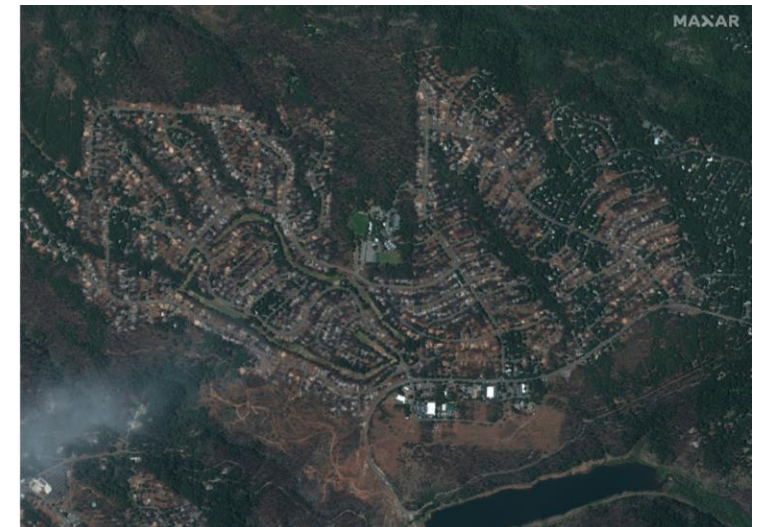
Input



Output (expected)



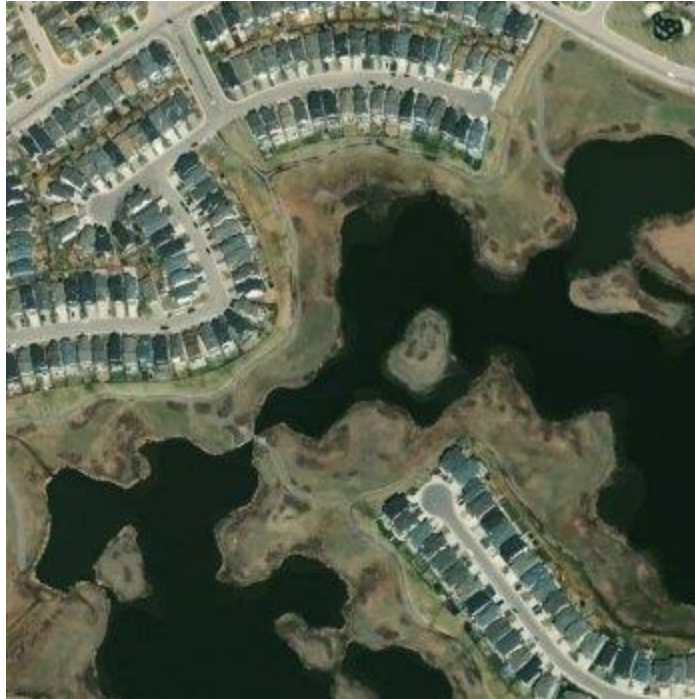
Output (actual)



# Datenset

## Wildfire Prediction Dataset (Satellite Images)<sup>[1]</sup>

- 22.710 Bilder von Waldbränden
- 20.140 Bilder ohne Waldbrände



# Datenset

## Problem:

- Keine vor- und nachher Bilder der gleichen Umgebung
- Kein Vergleich des Outputs mit tatsächlichen Waldbränden möglich

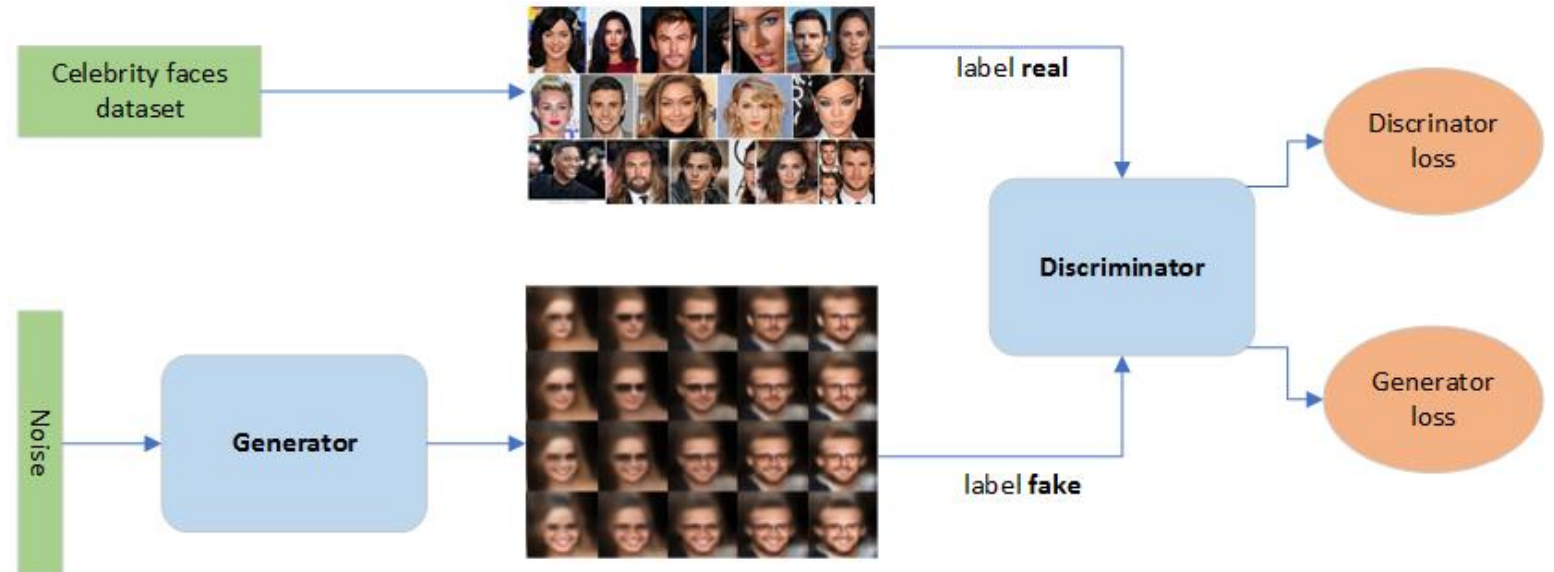
## Lösung

- Erweitern des Datensets um aktuelle Satellitenbilder von Gegenden, für die wir Waldbrände haben
- Erster Ansatz: Download von Satellitenbildern via Bot
- Zweiter Ansatz: Download via Google Maps API



# Was sind GANs?

- GANs = Generative Adversarial Networks
- Generator
- Diskriminator
- Anwendung



<https://towardsdatascience.com/generative-adversarial-network-gan-for-dummies-a-step-by-step-tutorial-fdefff170391>

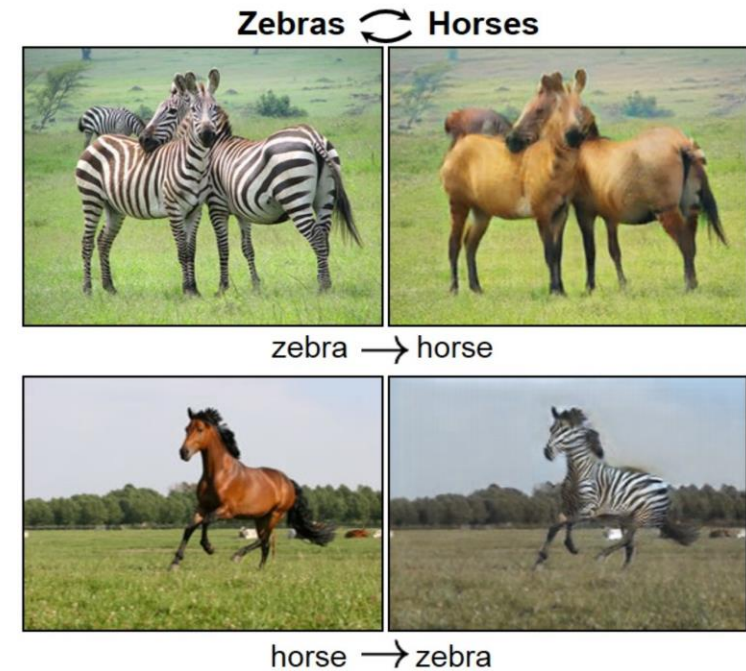
# Funktionsweise von GANs

- Initialisierung mit zufälligen Werten
- Training des Generators und Diskriminators
- Iterationen



# Welche GANs gibt es?

- DCGAN (Deep Convolutional GAN)
- CGAN (Conditional GAN)
- WGAN (Wasserstein GAN)
- CycleGAN
- StyleGAN
- Pix2Pix
- Weitere GANs mit Vor- und Nachteilen(<https://docs.google.com/document/d/1MYEDzg9DSmH47d-IqOXHvddCKhRWP5WZy4DRDH97C98/edit>)



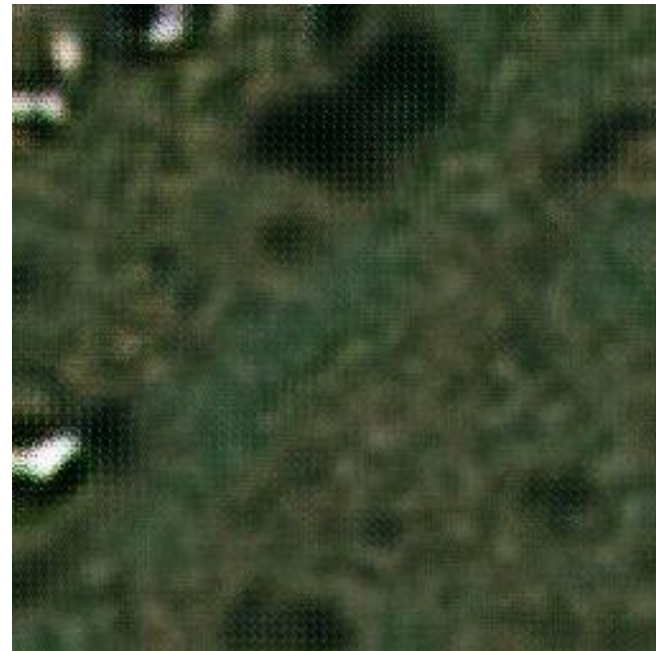
<https://aws.amazon.com/de/what-is/gan/>

# Welches GAN eignet sich für unsere Anwendung?

- DCGAN
- CycleGAN
- Pix2Pix

# CycleGAN

- Diskriminator
- Generator
- Trainingsprozess

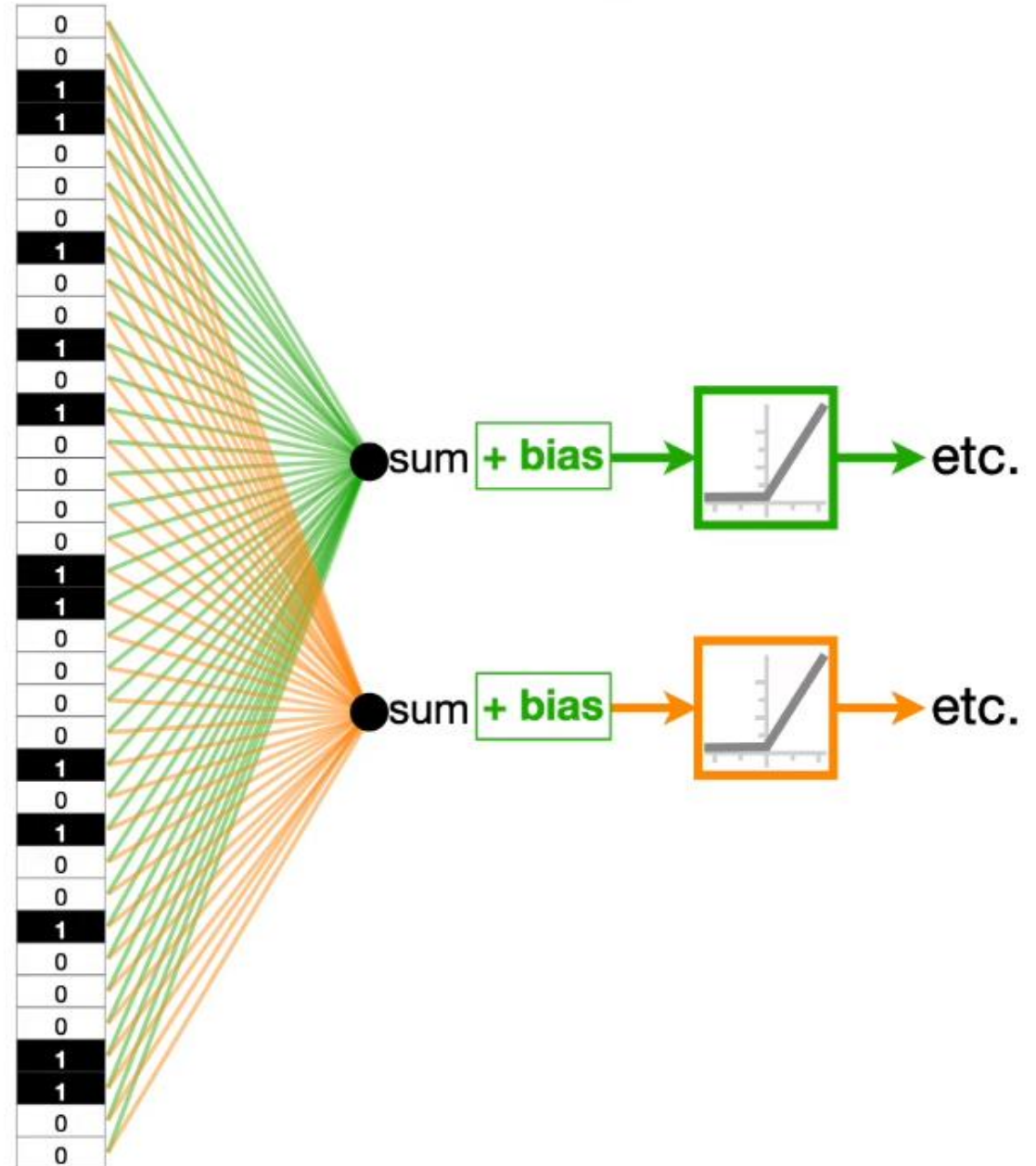


# Warum Convolutions?

0	0	1	1	0	0
0	1	0	0	1	0
1	0	0	0	0	1
1	0	0	0	0	1
0	1	0	0	1	0
0	0	1	1	0	0

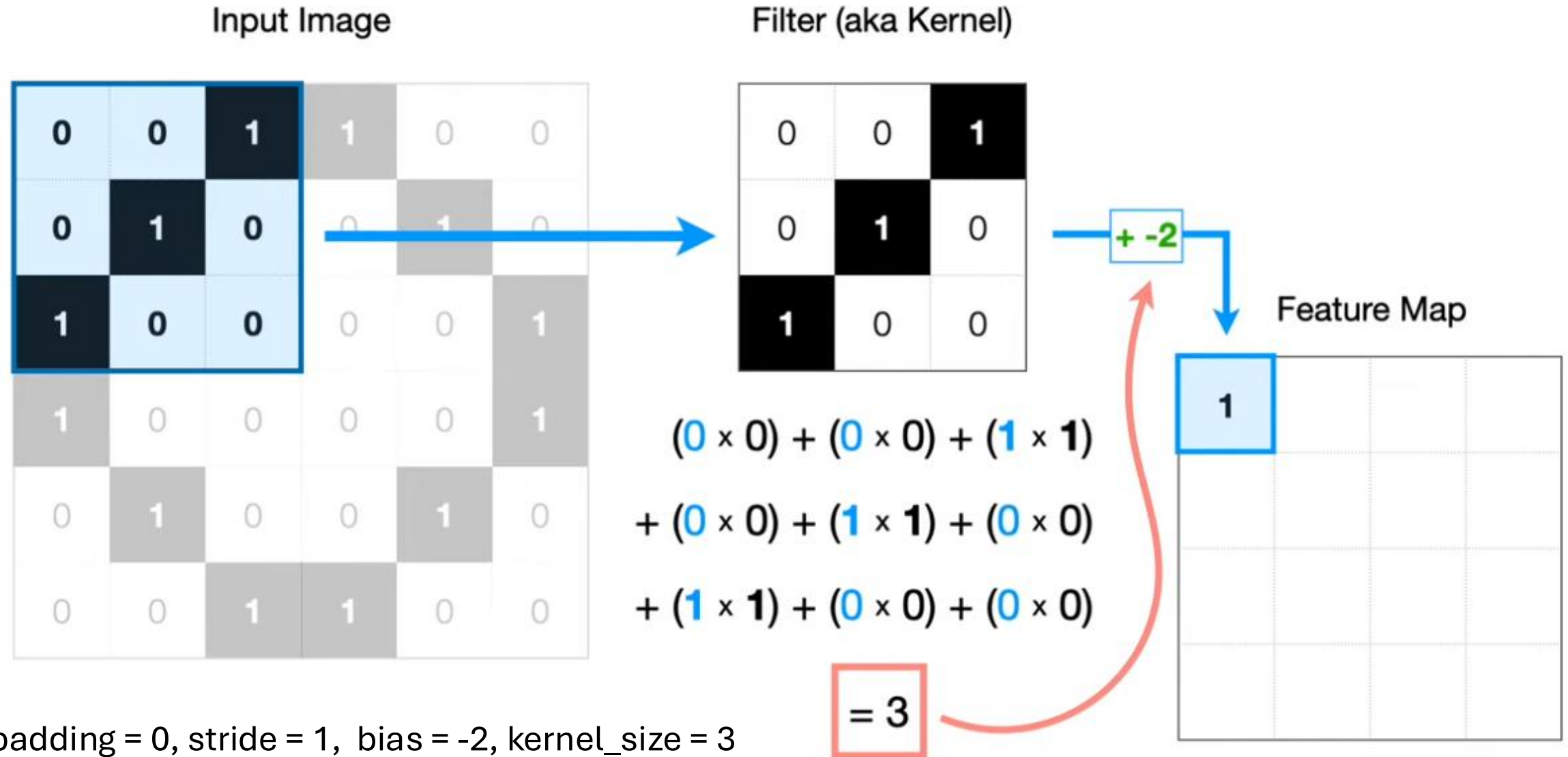
Im Beispiel:  $6 \times 6 = 36$  Gewichte pro Knoten

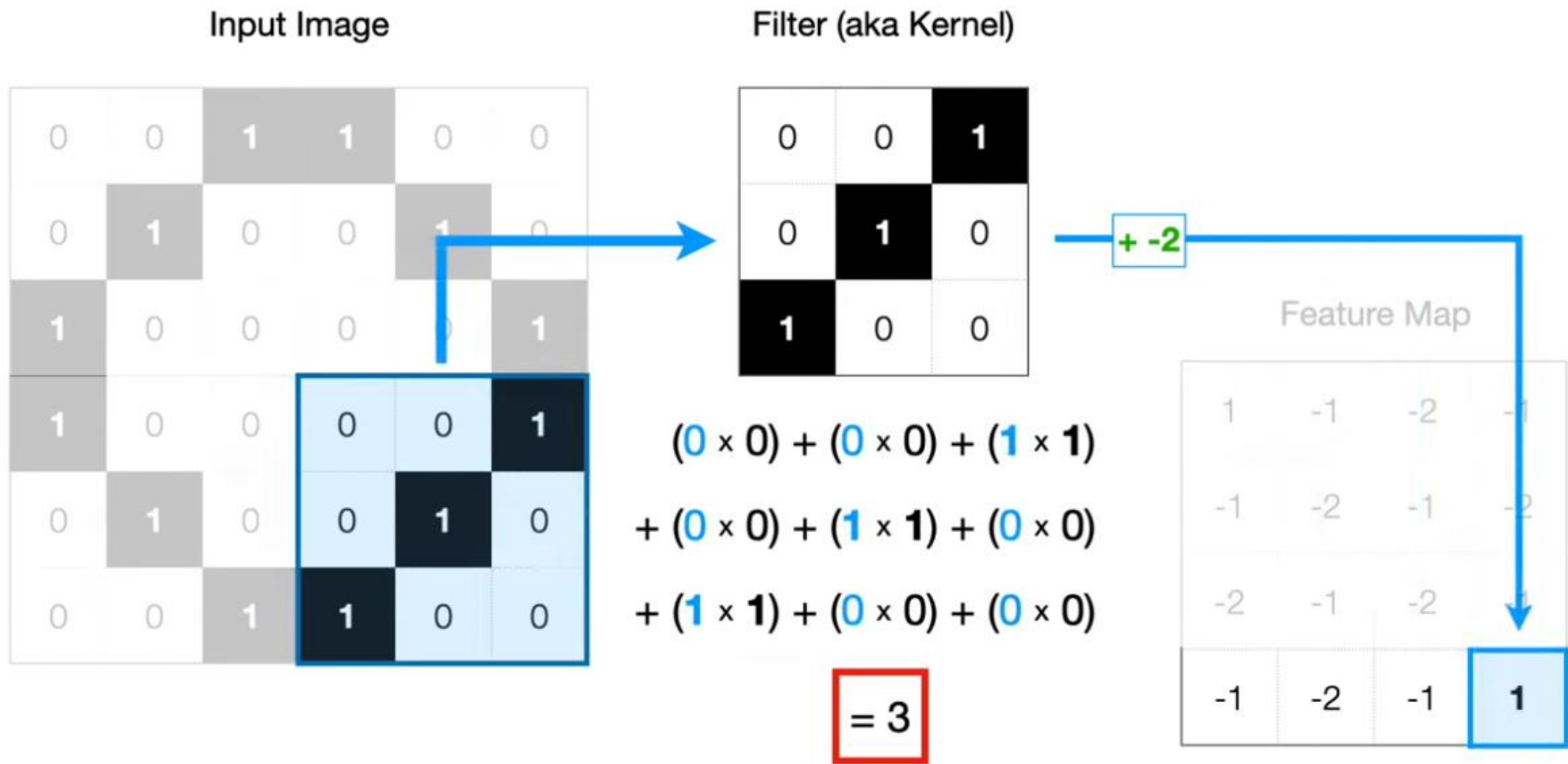
Bei  $100 \times 100 = 10000$  Gewichte pro Knoten



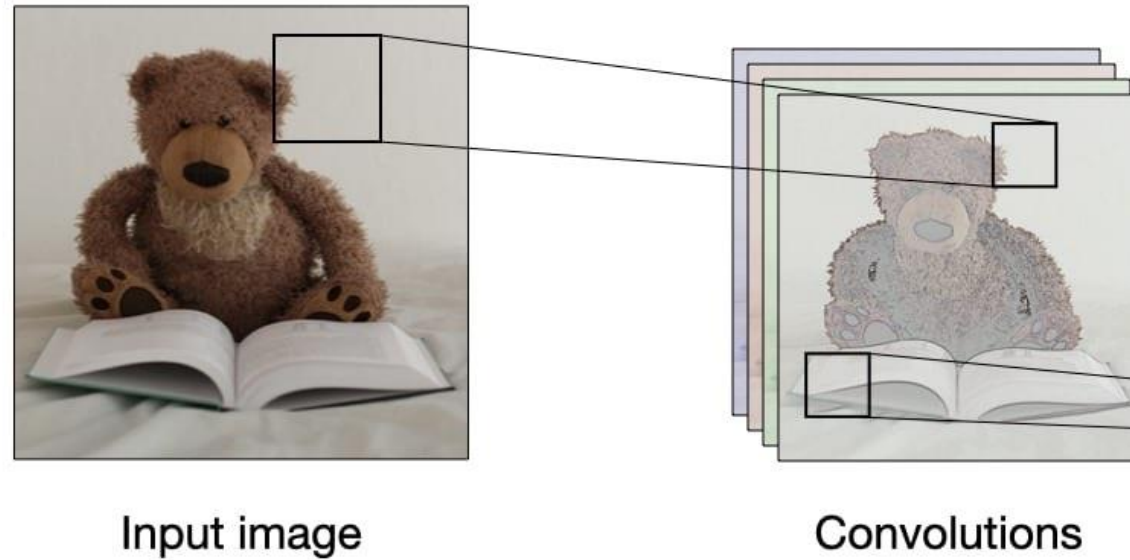


# Convolution





# Beispiel einer Feature Map



Jeder Filter erkennt verschiedene Features im Bild

# Transposed Convolution



=

0	0		
0	0		

+

		1	4
		2	3

+

2	8		
4	6		

+

		3	12
		6	9

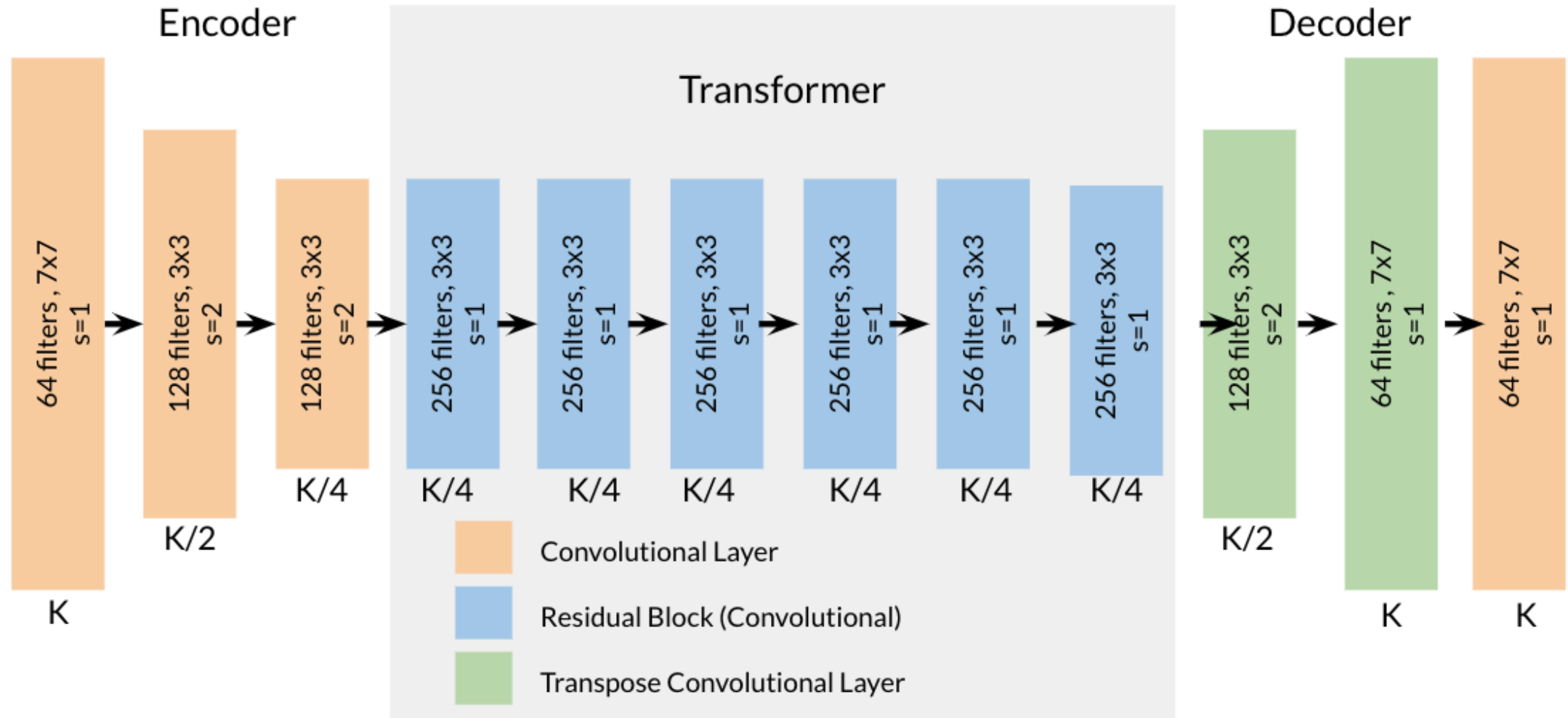
=

Output

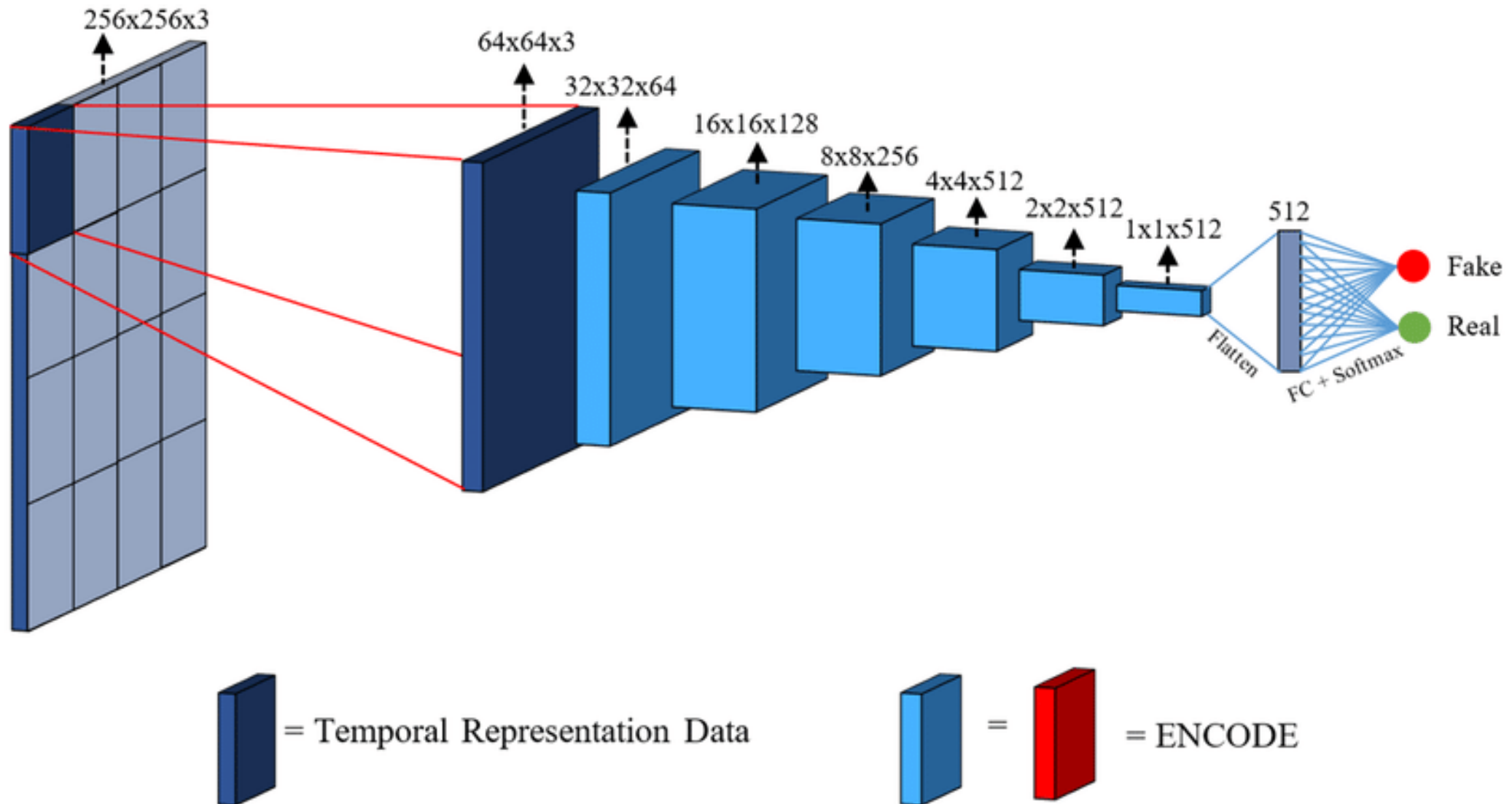
0	0	1	4
0	0	2	3
2	8	3	12
4	6	6	9



# Architektur des Generators

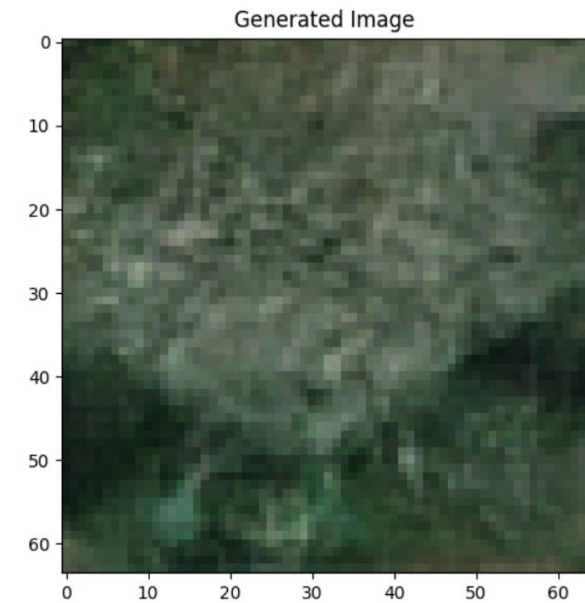
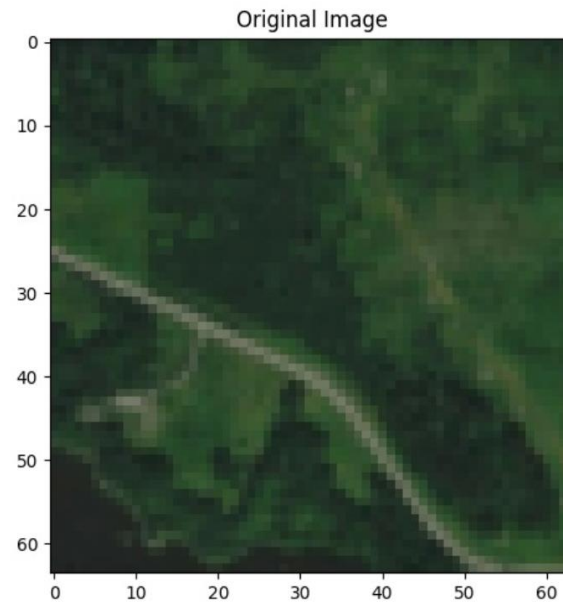


# Architektur des Diskriminators

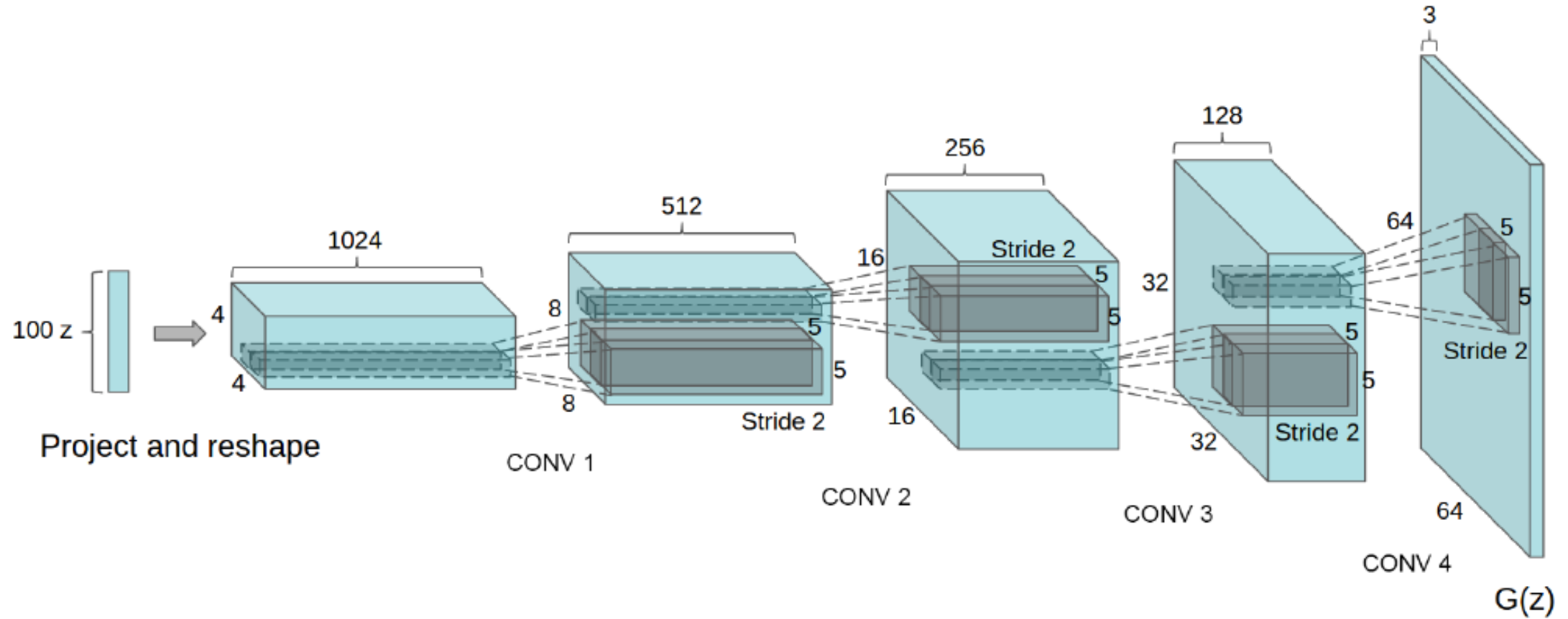


# DCGAN

- Diskriminator
- Generator
- Trainingsprozess

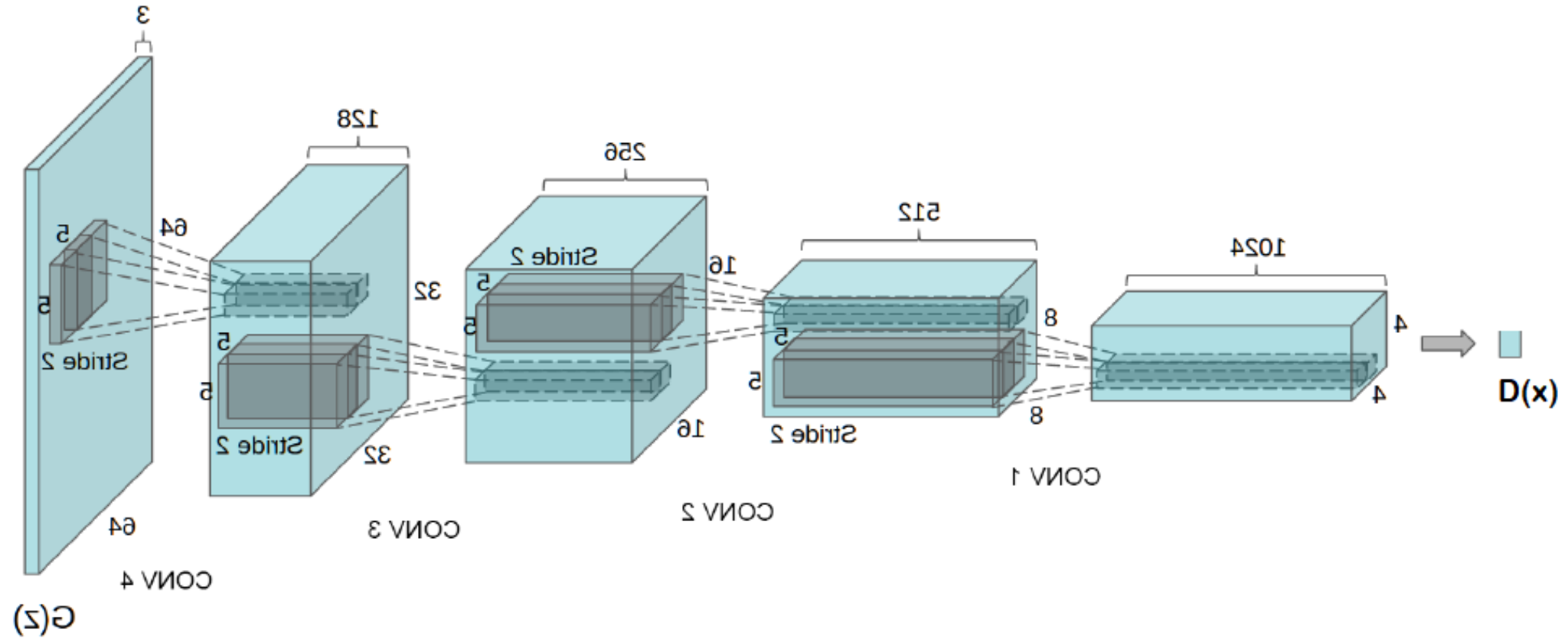


# Architektur des Generators



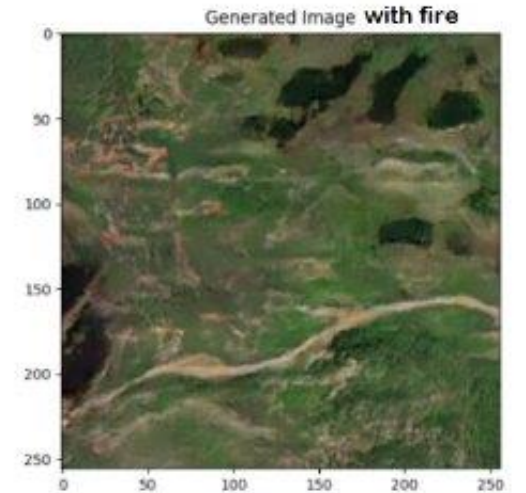
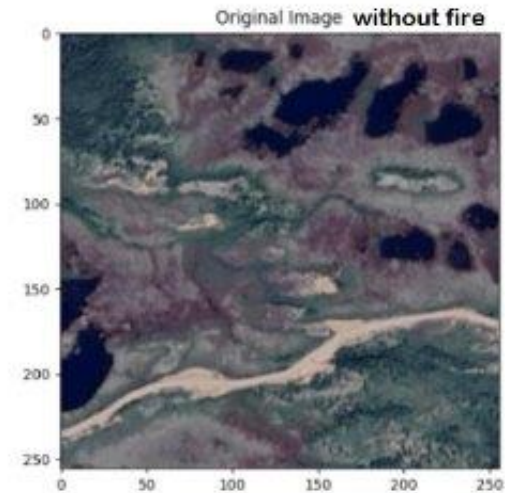


# Architektur des Diskriminators



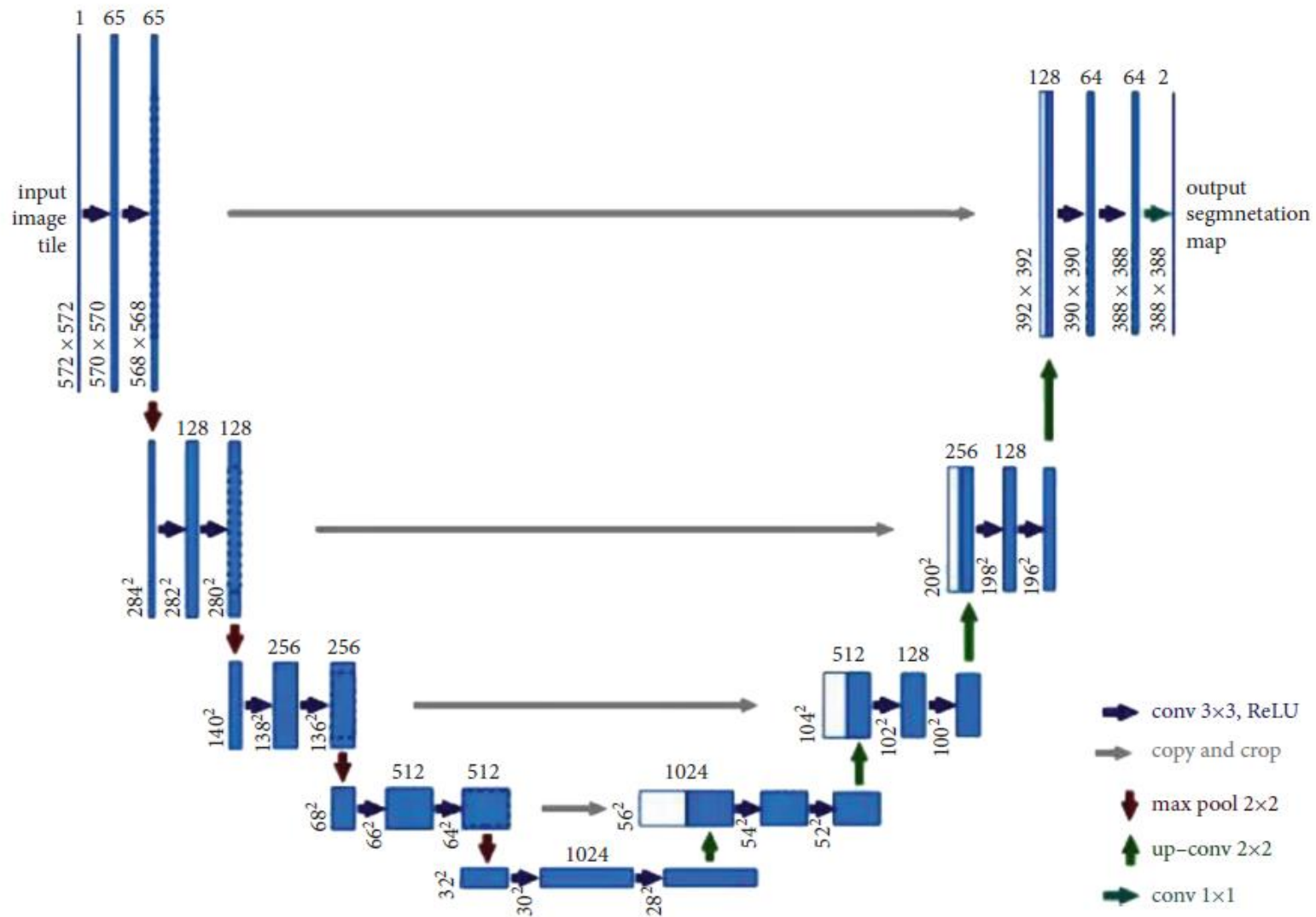
# Pix2Pix

- Diskriminator
- Generator
- Trainingsprozess



# Architektur des Generators

## U-Net



# Architektur des Diskriminators

- Wie beim CycleGAN



# Vergleich von Pix2Pix und CycleGAN

Labels -> Fotos	Loss	Per-pixel acc.	Per-class acc.	Class IOU	IoU = $\frac{\text{Intersection}}{\text{Union}}$
	CoGAN [32]	0.40	0.10	0.06	
	BiGAN/ALI [9, 7]	0.19	0.06	0.02	
	SimGAN [46]	0.20	0.10	0.04	
	Feature loss + GAN	0.06	0.04	0.01	
	CycleGAN (ours)	<b>0.52</b>	<b>0.17</b>	<b>0.11</b>	
	pix2pix [22]	0.71	0.25	0.18	

FCN-Score

Fotos -> Labels	Loss	Per-pixel acc.	Per-class acc.	Class IOU
	CoGAN [32]	0.45	0.11	0.08
	BiGAN/ALI [9, 7]	0.41	0.13	0.07
	SimGAN [46]	0.47	0.11	0.07
	Feature loss + GAN	0.50	0.10	0.06
	CycleGAN (ours)	<b>0.58</b>	<b>0.22</b>	<b>0.16</b>
	pix2pix [22]	0.85	0.40	0.32

Vergleich zu  
Ground-Truth-Labels

Input



Mögliche Feuergebiete bei  
einem Ausbruch



# Quellen

- [1] Wildfire Prediction Dataset (Satellite Images): <https://www.kaggle.com/datasets/abdelghaniaaba/wildfire-prediction-dataset>
- [2] Saxena, D., & Cao, J. (2021). Generative Adversarial Networks (GANs). *ACM Computing Surveys (CSUR)*, 54, 1 - 42. <https://doi.org/10.1145/3446374>.
- [3] Zhengwei Wang, Qi She, & Tomas E. Ward. (2020). Generative Adversarial Networks in Computer Vision: A Survey and Taxonomy.
- [4] Radford, Alec, Luke Metz, and Soumith Chintala. "Unsupervised representation learning with deep convolutional generative adversarial networks." (2015). <https://arxiv.org/abs/1511.06434>
- [5] Isola, Phillip, et al. "Image-to-image translation with conditional adversarial networks." Proceedings of the IEEE conference on computer vision and pattern recognition. (2017). <https://arxiv.org/abs/1611.07004>
- [6] Zhu, Jun-Yan, et al. "Unpaired image-to-image translation using cycle-consistent adversarial networks." Proceedings of the IEEE international conference on computer vision. (2017). <https://arxiv.org/abs/1703.10593>
- [7] Josh Starmer. "Neural Networks Part 8: Image Classification with Convolutional Neural Networks (CNNs)" (2021) <https://www.youtube.com/watch?v=HGwBXDKFk9I>
- [8] Shervine Amidi . "Convolutional Neural Networks cheatsheet" (2024) <https://stanford.edu/~shervine/teaching/cs-230/cheatsheet-convolutional-neural-networks>
- [9] "What is Transposed Convolutional Layer?" (2024) <https://www.geeksforgeeks.org/what-is-transposed-convolutional-layer/>
- [10] "GANsPainter" (2024) <https://github.com/manhph2211/GANsPainter?tab=readme-ov-file>
- [11] Ganokratanaa, Thittaporn & Aramvith, Supavadee & Sebe, Nicu. (2020). Unsupervised Anomaly Detection and Localization Based on Deep Spatiotemporal Translation Network. IEEE Access. PP. 1-1. 10.1109/ACCESS.2020.2979869.
- [12] Yin, Xiao-Xia, et al. "U-Net-Based Medical Image Segmentation." Journal of healthcare engineering 2022.1 (2022): 4189781. <https://onlinelibrary.wiley.com/doi/pdf/10.1155/2022/4189781>